

# Monte Carlo - Simulationen

①

Quellen: Thijssen, Kap. 10

Def. Berechnung der Eigenschaften physikalischer Modelle mit stochastischen Methoden

Physikalische Fragestellung (Beispiel)

Klassische statistische Physik: Erwartungswerte im kanonischen Ensemble

$N$  Teilchen mit Positionen  $\vec{r}_i \in V$  und Impulsen  $\vec{p}_i$

Energie  $E = E(\{\vec{r}_i\}, \{\vec{p}_i\})$

Observable  $A = A(\{\vec{r}_i\}, \{\vec{p}_i\})$

Erwartungswert

$$\langle A \rangle = \frac{\int_V d^3N \int_{\mathbb{R}^{3N}} d^3P A e^{-\beta E}}{\int_V d^3N \int_{\mathbb{R}^{3N}} d^3P e^{-\beta E}}$$

Für ein typisches Vielteilchensystem (z.B. Moleküldynamik)

$$E = \sum_{i=1}^N \frac{\vec{p}_i^2}{2m_i} + \underbrace{\sum_{i=1}^N V_i^{(a)}(\vec{r}_i) + \sum_{i < j=1}^N V_{ij}^{(w)}(|\vec{r}_i - \vec{r}_j|)}_{= V = V(\{\vec{r}_i\})}$$

⇒ Wir können die Integrale über die Impulse durchführen, falls  $A$  nur von den Koordinaten abhängt (2)

$$\langle A \rangle = \frac{\int_{VN} d^{3N} \vec{r} A(\{\vec{r}_i\}) e^{-\beta V}}{\int_{VN} d^{3N} \vec{r} e^{-\beta V}}$$

Beispiele:

- Potentielle Energie  $A = V$
- Interne Energie  $U = \frac{3}{2} N k_B T + \langle V \rangle$
- Druck (Virialsatz)

$$PV = N k_B T - \frac{1}{3V} \left\langle \frac{1}{2} \sum_{i=1}^N \vec{r}_i \cdot \vec{\nabla}_i \sum_{j=1}^N V_{ij}^{(w)}(|\vec{r}_i - \vec{r}_j|) \right\rangle$$

### Anmerkung

Mit Hilfe verschiedener Relationen der Thermodynamik und statistischen Physik, können wir thermodynamische Größen berechnen, die sich nicht als Erwartungswert ausdrücken lassen.

Beispiel: Entropie und freie Energie

$$S(T) = - \left( \frac{\partial F}{\partial T} \right)_{V,N} \approx \frac{1}{kT^2} \frac{F(T+\Delta T) - F(T-\Delta T)}{2\Delta T}$$

$$\text{Aber } F(T+\Delta T) - F(T-\Delta T) \approx -k_B T \ln \left( \frac{Z(T+\Delta T)}{Z(T-\Delta T)} \right) \quad (3)$$

Für die Zustandssumme

$$Z = \frac{1}{N!} \left( \frac{2m\pi}{\beta h^2} \right)^{3/2} \int_{V^N} d\vec{r}^{3N} e^{-\beta V}$$

erhalten wir

$$\frac{Z(T+\Delta T)}{Z(T-\Delta T)} \approx \frac{\int_{V^N} d\vec{r}^{3N} e^{-\Delta\beta V} e^{-\beta V}}{\int_{V^N} d\vec{r}^{3N} e^{-\beta V}}$$

$$\text{mit } \Delta\beta = \frac{1}{T+\Delta T} - \frac{1}{T-\Delta T} \approx \frac{-2\Delta T}{T^2}$$

Math. Aufgabe

Integration in hohen Dimensionen

$$I = \int_{V \subset \mathbb{R}^D} d\vec{x}^D f(\vec{x})$$

Problem mit Quadratur-Formeln

Volumen  $V$  wird in  $M$  Zellen mit Kantenlängen  $h$  und Volumen  $\Delta V = h^D = \frac{V}{M}$  zerlegt

$$I_M \approx \frac{V}{M} \sum_{i=1}^M w(\vec{x}_i) f(\vec{x}_i)$$

wobei  $\vec{x}_i$  ist ein Punkt in der Zelle  $i$  und  $w(\vec{x}_i) > 0$

ist ein Gewicht, das von der Quadratur-Formel abhängt.

(4)

Der Fehler ist  $|I_M - I| \sim h^k \sim M^{-k/D}$

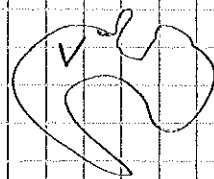
wobei

$k=2$  für die erweiterte Trapezoid-Formel

$k=4$  " " " Simpson-Formel

...

$\Rightarrow$  { Sehr langsame Konvergenz mit zunehmendem  $M$   
Schrittweiten mit den Integrationsgrenzen



## Monte Carlo - Integration (Importance Sampling)

Grundidee: • Wahrscheinlichkeitsdichte  $p(\vec{x}) > 0, \vec{x} \in V$   
auswählen

$$I = \int_V d\vec{x} \, g(\vec{x}) p(\vec{x})$$

$$\text{mit } g(\vec{x}) = \frac{f(\vec{x})}{p(\vec{x})}$$

•  $M$  unabhängige Zufallspunkte  $\vec{x}_i \in V$   
mit Wahrscheinlichkeitsdichte  $p(\vec{x})$  erzeugen

$$I_M^{MC} = \frac{1}{M} \sum_{i=1}^M g(\vec{x}_i)$$

Zentraler Grenzwertsatz (Gesetz der großen Zahlen): (5)

$I_M^{MC}$  ist eine Zufallsvariable mit Wahrscheinlichkeitsdichte

$$P(I_M^{MC}) \approx \frac{1}{\sqrt{2\pi}\sigma} \exp\left(-\frac{(I_M^{MC} - I)^2}{2\sigma^2}\right)$$

für  $M \gg 1$ .

Die Breite der Verteilung ist

$$\sigma^2 = \frac{\sigma_g^2}{M}$$

mit dem Schwankungsquadrat der Funktion  $g(\vec{x})$

$$\sigma_g^2 = \frac{1}{V} \int_V d\vec{x}^D g^2(\vec{x}) - \left| \frac{1}{V} \int_V d\vec{x}^D g(\vec{x}) \right|^2$$

Interpretation:  $I_M^{MC}$  "konvergiert" gegen  $I$  für  $M \rightarrow \infty$

Der Fehler ist  $|I_M^{MC} - I| < n \frac{\sigma_g}{\sqrt{M}}$

mit Wahrscheinlichkeit  $\approx 68\%$  für  $n=1$

$\approx 95\%$  für  $n=2$

$\approx 99,7\%$  für  $n=3$

...

Schlussfolgerung: MC-Integration ist effizienter als

Quadraturformeln für  $D > 2k$

Vorsicht: Die Genauigkeit hängt sehr stark von den Schwankungen der Funktion  $g(\vec{x})$

Anmerkung:  $\sigma_q^2$  kann aus der MC-Berechnung abgeschätzt werden

(6)

$$\sigma_q^2 \approx \frac{1}{M} \sum_{i=1}^M q^2(\vec{x}_i) - \left| \frac{1}{M} \sum_{i=1}^M q(\vec{x}_i) \right|^2$$

Praktische Probleme:

1) Wahl der Verteilung  $\rho(\vec{x})$ . Für unser Beispiel

$$\rho(\vec{x}) = \frac{e^{-\beta V}}{\int d\vec{x}^D e^{-\beta V}}$$

2) Wie erzeugt man die Zufallspunkte  $\vec{x}_i$  mit Wahrscheinlichkeitsdichte  $\rho(\vec{x})$ ?

→ Künstliche diskrete "Moleküldynamik" mit einer, sogenannten Markov-Kette

# Markov-Ketten

(7)

Konfigurationen  $\vec{X}_t$  mit  $t = 0, 1, 2, \dots, S$

Für unser Problem  $\vec{X}_t = \{\vec{x}_i\}$

Künstliche diskrete Dynamik mit "Zeit"  $t$

Grundidee:

- Anfangskonfiguration  $\vec{X}_0$  mit Verteilung  $p_0(\vec{x})$

- Übergänge  $\vec{X}_t \rightarrow \vec{X}_{t+1}$  mit Wahrscheinlichkeit  $T(\vec{x} \rightarrow \vec{x}')$

- $M$  unabhängige Konfigurationen

$$\vec{X}_{t_R + m t_c} \quad m = 1, \dots, M$$

mit Verteilung  $\approx p(\vec{x})$

Beispiel: Metropolis - Algorithmus (für einen Übergang)

1. Vorgegeben  $\vec{X}_t$

2. Neue Konfiguration  $\vec{Y}$  aus  $\vec{X}_t$  erzeugen

3. Zufallszahl  $Z$  mit gleichmäßiger Verteilung in  $[0, 1]$  erzeugen

4. Falls  $\vec{P}(\vec{Y}) / p(\vec{X}_t) > Z$  wird die Konfiguration angenommen, d.h.  $\vec{X}_{t+1} = \vec{Y}$

5. Sonst wird  $\vec{Y}$  verworfen und zurück zu 2.

## Anmerkungen:

(8)

- 1) Die Verteilung  $P_t$  der Zufallsvariable  $X_t$  konvergiert gegen  $P(\vec{x})$  für  $t \gg 1$ :

$$P_t(\vec{x}) \approx P(\vec{x}) + O(e^{-t/\tau_R})$$

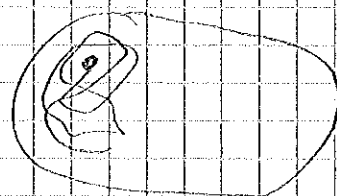
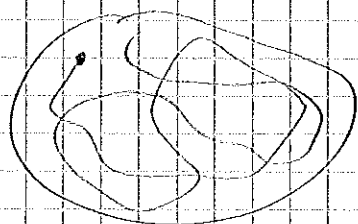
$\tau_R$  ist die Relaxationszeit. Für  $t \gg \tau_R$  können wir annehmen, dass  $P_t \approx P$

- 2) Die Korrelation zwischen 2 Konfigurationen  $\vec{x}_t$  und  $\vec{x}_{t'}$  verschwinden für  $|t - t'| \gg 1$ :

$$\begin{aligned} C(t, t') &= \langle \vec{x}_t \vec{x}_{t'} \rangle - \langle \vec{x}_t \rangle \langle \vec{x}_{t'} \rangle \\ &\approx O(e^{-|t - t'|/\tau_c}) \end{aligned}$$

$\tau_c$  ist die (Auto-) Korrelationszeit. Für  $|t - t'| \gg \tau_c$  können wir annehmen, dass die Zufallskonfigurationen  $\vec{x}_t$  und  $\vec{x}_{t'}$  unabhängig voneinander sind.

- 3) Die Erzeugung der Konfiguration  $\vec{x}$  hängt stark vom System ab. Eine wichtige Bedingung ist dass jede Konfiguration erreichbar sein muss. 'gleichzeitig'...





(9)

- 4) Im Metropolis - Algorithmus müssen wir nie die Wahrscheinlichkeit  $P(\vec{x})$  berechnen aber nur das Verhältnis  $P(\vec{y}) / P(\vec{x}_L)$  für 2 Konfigurationen.

In unserem Beispiel, es ist:

$$\frac{P(\{\vec{n}_i'\})}{P(\{\vec{n}_i\})} = \frac{e^{-\beta V(\{\vec{n}_i'\})}}{e^{-\beta V(\{\vec{n}_i\})}} = e^{-\beta [V(\{\vec{n}_i'\}) - V(\{\vec{n}_i\})]}$$

und kann ohne Schwierigkeit berechnet werden.

- 5) Bei Phasenübergängen gibt es oft ein "critical slowing down" der MC - Dynamik, d.h.

$$\tau_R, \tau_C \rightarrow \infty$$

$\tau_R$  hängt sehr stark von der Anfangskonfiguration  $\vec{x}_0$  ab und kann mit einer passenden Wahl von  $\vec{x}_0$  verfürzt werden.

$\tau_C$  hängt sehr stark vom Verfahren für den Übergang  $\vec{x}_L \rightarrow \vec{x}_{L+1}$ . Sie kann oft mit Änderungen des Erzeugungsverfahrens für  $\vec{y}$  oder sogar des Algorithmus (Heat bath statt Metropolis, ...) beeinflusst werden.

## Zusammenfassung: MC - Simulation

- Wir erzeugen eine Markov-Kette der Länge  $S$
- Daraus erhalten wir  $M$  näherungsweise unabhängige und gemäss  $P(\vec{x})$  verteilte Zufallskonfigurationen

$$\vec{x}_{\tau_R + j \tau_c} \quad j = 1, \dots, M$$

$$(S \approx \tau_R + M \tau_c)$$

- Das Integral wird approximiert durch

$$I_M^{MC} = \frac{1}{M} \sum_{j=1}^M g(\vec{x}_{\tau_R + j \tau_c})$$

- Der Fehler  $|I - I_M^{MC}|$  verschwindet wie  $\frac{1}{\sqrt{M}}$